

# Marches aléatoires sur des graphes aléatoires engendrés par des processus ponctuels dans $\mathbb{R}^d$

## Récurrence/transience - Principes d'invariance

Arnaud Rousselle

**Journées MAS 2014**

Université Paul Sabatier, Toulouse, 29 août 2014





Introduction

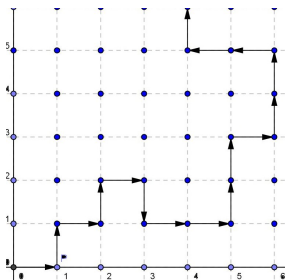
Récurrence et transience

Réseaux électriques et esquisse d'une preuve

Principes d'invariance



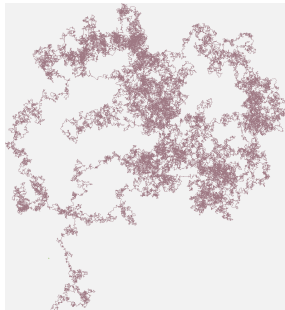
## Cadre classique



- ▶ Espace d'états déterministe
- ▶ Probabilités de transition fixées à l'avance
- ▶ Grille  $\mathbb{Z}^d$ , marches au plus proche voisin :
  - ▶ Récurrentes  $d = 1, 2$ ; transitoires  $d \geq 3$  [Pólya, '21]



## Cadre classique

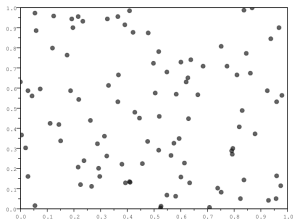


- ▶ Espace d'états déterministe
- ▶ Probabilités de transition fixées à l'avance
- ▶ Grille  $\mathbb{Z}^d$ , marches au plus proche voisin :
  - ▶ Récurrentes  $d = 1, 2$ ; transitoires  $d \geq 3$   
[Pólya, '21]
  - ▶ Principe d'invariance  
[Donsker, '51]





## Cadre classique



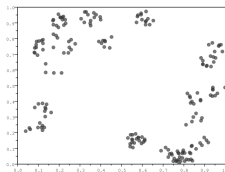
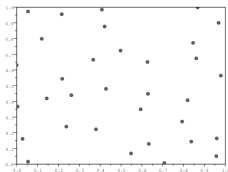
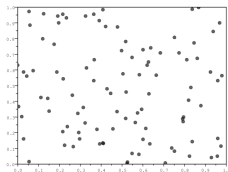
- ▶ Espace d'états déterministe
- ▶ Probabilités de transition fixées à l'avance
- ▶ Grille  $\mathbb{Z}^d$ , marches au plus proche voisin :
  - ▶ Récurrentes  $d = 1, 2$ ; transitoires  $d \geq 3$  [Pólya, '21]
  - ▶ Principe d'invariance [Donsker, '51]

### Dans la littérature, avec un espace d'états aléatoire

- ▶ Marches au hasard sur l'amas de percolation (sur-critique)
  - ▶ [Grimmett *et al.*, '93], [De Masi *et al.*, '89], [Sidoravicius et Sznitman, '04]
- ▶ Marches au hasard sur le graphe complet engendré par un processus ponctuel, avec des probabilités de transition décroissantes avec la distance
  - ▶ [Caputo *et al.*, '09], [Faggionato *et al.*, '06], [Caputo *et al.*, '13]



## Processus ponctuel simple : sous-ensemble aléatoire de $\mathbb{R}^d$ localement fini

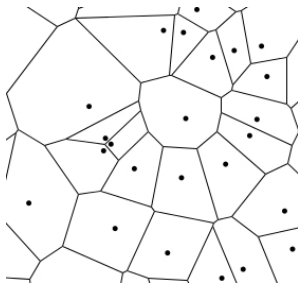


**FIGURE** : Processus ponctuel de Poisson (PPP, haut), processus de Matérn « Hardcore » (MHP, gauche) et de Matérn « Cluster » (MCP, droite)

## Mosaïque de Voronoï

- ▶ Partition de  $\mathbb{R}^d$  en des polyèdres convexes
- ▶ Cellule de Voronoï de germe  $u \in \xi$  :

$$\text{Vor}_\xi(u) := \left\{ x \in \mathbb{R}^d : \|x - u\|_2 \leq \|x - v\|_2, \forall v \in \xi \right\}$$

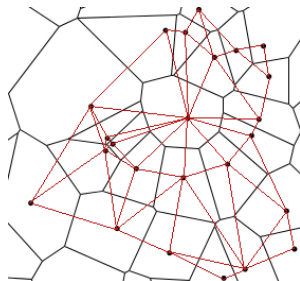


$\text{VS}(\xi)$  : Squelette de la mosaïque de Voronoï de  $\xi$



## Triangulation de Delaunay

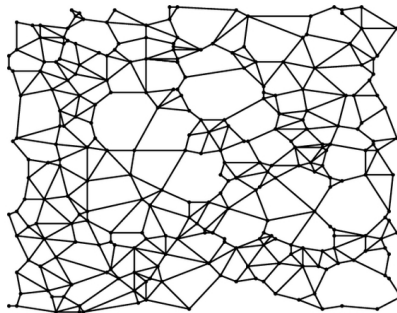
- ▶ Dual de la mosaïque de Voronoï de  $\xi$ 
  - ↪ ensemble de sommets :  $\xi$
  - ↪ une arête entre  $u$  et  $v$  ssi  $\text{Vor}_\xi(u)$  et  $\text{Vor}_\xi(v)$  partagent une face  $(d - 1)$ -dim.
- ▶ Caractérisation par les sphères circonscrites



$\text{DT}(\xi)$  : Triangulation de Delaunay de  $\xi$

## Graphe de Gabriel

- Sous-graphe de la triangulation de Delaunay
  - ↪ ensemble de sommets :  $\xi$
  - ↪ une arête entre  $u$  et  $v$  ssi la boule de diamètre  $[u, v]$  est vide



$\text{Gab}(\xi)$  : Graphe de Gabriel engendré par  $\xi$



Introduction

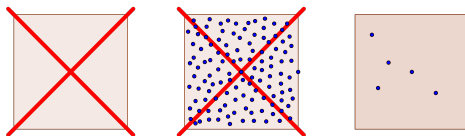
Récurrence et transience

Réseaux électriques et esquisse d'une preuve

Principes d'invariance

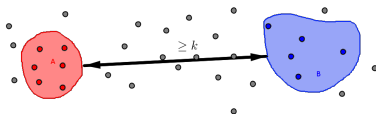
**(BR)** « Bonne » répartition des points :

$$\exists c_1, c_2 \forall L \text{ large} : \mathbb{P}[1 \leq \#([0, L]^d \cap \xi) \leq c_1 L^d] \geq 1 - e^{-c_2 L^d}.$$



**(RF)** Rang de dépendance fini  $k$  ( $d \geq 3$ )

$$\forall A, B \subset \mathbb{R}^d \text{ t.q. } d(A, B) \geq k, \xi \cap A \text{ et } \xi \cap B \text{ sont indépendants.}$$



## Théorème

Soit  $\xi$  distribué selon un processus ponctuel simple, stationnaire, presque sûrement en position générale dans  $\mathbb{R}^d$  satisfaisant **(BR)**.

**Récurrence pour  $d = 2$**  : pour presque toute réalisation de  $\xi$ , les marches simples sur  $DT(\xi)$ ,  $Gab(\xi)$  et  $VS(\xi)$  sont récurrentes (nulles).

**Transience pour  $d \geq 3$**  : si le processus ponctuel satisfait de plus **(RF)**, alors, pour presque toute réalisation de  $\xi$  les marches simples sur  $DT(\xi)$  et  $VS(\xi)$  sont transitoires.

Si  $\xi$  n'a presque sûrement pas de chaîne descendante, la même conclusion est vraie pour la marche simple sur  $Gab(\xi)$ .

### Exemples de processus ponctuels :

- ▶ processus ponctuel de Poisson (indépendance),
- ▶ processus de Matérn « Cluster » (attractivité),
- ▶ processus de Matérn « Hardcore » (répulsivité),
- ▶ processus déterminantal stationnaire ( $d = 2$ , répulsivité).



Introduction

Récurrence et transience

Réseaux électriques et esquisse d'une preuve

Principes d'invariance



Réf : [Doyle et Snell, '84 ; Lyons et Peres, '14]

- $G = (S_G, A_G)$  graphe connexe non orienté, chaque sommet de degré fini

### Conductance

$C$  fonction positive sur l'ensemble d'arêtes  $A_G$ .

$$\hookrightarrow \text{Résistance : } R = \frac{1}{C}$$

### Marche aléatoire dans $G$ associée à $C$

Chaîne de Markov dont les probabilités de transition sont données par :

$$\pi(x, y) = \frac{C(\{x, y\})}{w_G(x)},$$

où  $w_G(x) := \sum_{y \sim x} C(\{x, y\})$ .



Potentiel électrique,  $A, Z \subset S_G$  disjoints fixés

$V$  définie sur  $S_G$  spécifiée sur  $A \cup Z$  et *harmonique* sur  $(A \cup Z)^c$ , i.e. telle que :

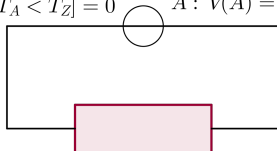
$$\forall x \notin A \cup Z, V(x) = \frac{1}{w_G(x)} \sum_{y \sim x} C(\{x, y\}) V(y).$$

Le *principe d'unicité* implique que

Si  $V|_A \equiv 1, V|_Z \equiv 0$ , alors

$$\forall x \in S_G, V(x) = \mathbb{P}^x[T_A < T_Z].$$

$$Z : V(Z) = \mathbb{P}^Z[T_A < T_Z] = 0 \quad A : V(A) = \mathbb{P}^A[T_A < T_Z] = 1$$



Hors de  $A \cup Z$ ,  $V$  et  $\mathbb{P}^x[T_A < T_Z]$  harmoniques



## Conductance efficace

$$C_{\text{eff}}(a \leftrightarrow Z) = w_G(a) \mathbb{P}[a \rightarrow Z] \text{ quand } V|_Z \equiv 0,$$

où  $\mathbb{P}[a \rightarrow Z] := \mathbb{P}^a[T_Z < T_a^1]$ .

- ▶  $(G_n)_n \uparrow G$ ,
- ▶ Pour  $a \in S_G$ ,  $\mathbb{P}[a \rightarrow G_n^c] \downarrow \mathbb{P}[a \rightarrow \infty] = \ll \text{probabilité d'échappement depuis } a \gg$

## Récurrence, transience et conductance efficace

La marche aléatoire associée à  $C$  est transitoire ssi il existe  $a \in S_G$  tel que :

$$C_{\text{eff}}(a \leftrightarrow \infty) > 0.$$

## Principe de monotonie de Rayleigh

Si  $C \leq C'$ , alors  $C_{\text{eff}}(a \leftrightarrow \infty) \leq C'_{\text{eff}}(a \leftrightarrow \infty)$ .





- ▶ **Cadre** :  $G$  graphe aléatoire plongé dans  $\mathbb{R}^d$ ,  $d \geq 3$
- ▶ **Principe de monotonie**  $\Rightarrow G$  est transitoire s'il a un sous-graphe  $H$  transitoire
- ▶ Comparer avec les marches aléatoires sur l'amas de percolation

### Théoreme [Grimmett, Kesten et Zhang, '93]

Si  $d \geq 3$ , la marche aléatoire simple au plus proche voisin sur l'amas de percolation sur-critique est presque sûrement transitoire.

#### ▶ Renormalisation

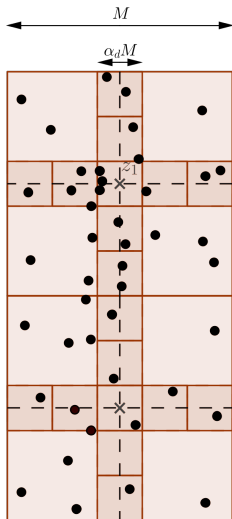
$\hookrightarrow$  découper  $\mathbb{R}^d$  en des boîtes

$$B_z := Mz + \left[ -\frac{M}{2}, \frac{M}{2} \right]^d, \quad z \in \mathbb{Z}^d$$

$\hookrightarrow$  définir des « bonnes boîtes » telles que le processus  $\{\mathbf{1}_{B_z \text{ est bonne}}\}_{z \in \mathbb{Z}^d}$  domine stochastiquement un processus de percolation sur-critique dans  $\mathbb{Z}^d$

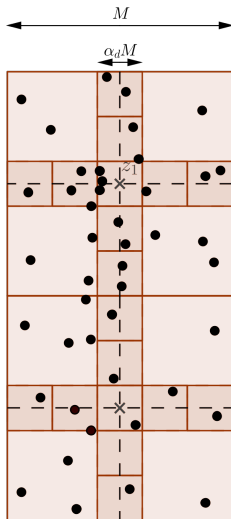
$\hookrightarrow$  exhiber un sous-graphe  $H$  de  $G$  qui « ressemble » à l'amas de percolation





### Définition des bonnes boîtes pour la triangulation de Delaunay

- ▶ chaque sous-boîte de côté  $\alpha_d M$  intersectant la « croix centrale » contient au moins un point de  $\xi$
- ▶ la boîte contient au plus  $K$  points de  $\xi$

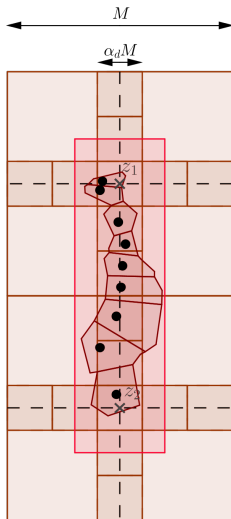


### Définition des bonnes boîtes pour la triangulation de Delaunay

- ▶ chaque sous-boîte de côté  $\alpha_d M$  intersectant la « croix centrale » contient au moins un point de  $\xi$
- ▶ la boîte contient au plus  $K$  points de  $\xi$

### Conséquences

- ▶ le processus des bonnes boîtes domine stochastiquement un processus de percolation indépendant sur  $\mathbb{Z}^d$  ( $M$  et  $K$  bien choisis)
- ▶ on peut choisir le germe  $v_i$  de la cellule de Voronoï de  $Mz_i$  comme sommet de référence pour  $B_{z_i}$

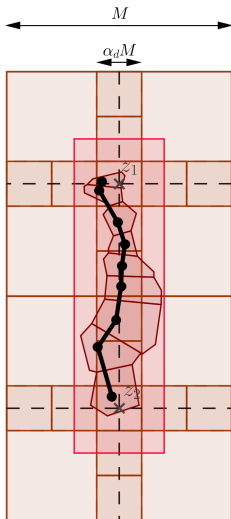


### Définition des bonnes boîtes pour la triangulation de Delaunay

- ▶ chaque sous-boîte de côté  $\alpha_d M$  intersectant la « croix centrale » contient au moins un point de  $\xi$
- ▶ la boîte contient au plus  $K$  points de  $\xi$

### Conséquences

- ▶ le processus des bonnes boîtes domine stochastiquement un processus de percolation indépendant sur  $\mathbb{Z}^d$  ( $M$  et  $K$  bien choisis)
- ▶ on peut choisir le germe  $v_i$  de la cellule de Voronoï de  $Mz_i$  comme sommet de référence pour  $B_{z_i}$
- ▶ les germes des cellules de Voronoï intersectant  $[Mz_1, Mz_2]$  sont dans un rectangle épaississant  $[Mz_1, Mz_2]$



### Définition des bonnes boîtes pour la triangulation de Delaunay

- ▶ chaque sous-boîte de côté  $\alpha_d M$  intersectant la « croix centrale » contient au moins un point de  $\xi$
- ▶ la boîte contient au plus  $K$  points de  $\xi$

### Conséquences

- ▶ le processus des bonnes boîtes domine stochastiquement un processus de percolation indépendant sur  $\mathbb{Z}^d$  ( $M$  et  $K$  bien choisis)
- ▶ on peut choisir le germe  $v_i$  de la cellule de Voronoï de  $Mz_i$  comme sommet de référence pour  $B_{z_i}$
- ▶ les germes des cellules de Voronoï intersectant  $[Mz_1, Mz_2]$  sont dans un rectangle épaississant  $[Mz_1, Mz_2]$
- ▶ le chemin entre  $v_1$  et  $v_2$  obtenu en reliant les germes des cellules successives intersectant  $[Mz_1, Mz_2]$  est contenu dans  $B_{z_1} \cup B_{z_2}$  et a une longueur (de graphe) au plus  $L := 2K$



Introduction

Récurrence et transience

Réseaux électriques et esquisse d'une preuve

Principes d'invariance

## Cadre :

- ▶  $\xi^0$  distribué selon la mesure de Palm  $\mathbb{P}_0$  d'un PPP, d'un MCP ou d'un MHP
- ▶  $(X_n^{\xi^0})_{n \in \mathbb{N}}$  : marche aléatoire simple sur  $\text{DT}(\xi^0)$  ou  $\text{Gab}(\xi^0)$
- ▶  $P_0^{\xi^0}$  : loi de  $(X_n^{\xi^0})_{n \in \mathbb{N}}$  partant de l'origine

### Théorème

Le processus mis à l'échelle  $\left( \varepsilon X_{\lfloor \varepsilon^{-2} t \rfloor}^{\xi^0} \right)_{t \geq 0}$  converge faiblement en  $\mathbb{P}_0$ -probabilité vers un mouvement brownien de matrice de covariance  $\sigma^2 \mathbf{I}$  où  $\sigma^2$  est positif et « explicite ».

### Quelques éléments de la preuve :

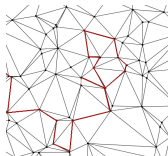
- ▶ l'environnement vu par la particule  
↔ permet de reconstruire le processus original à partir d'un processus de Markov
- ▶ principe d'invariance pour des fonctionnelles additives de processus de Markov [De Masi *et al.*, '89]
- ▶ minoration du coefficient de diffusion

## Cadre :

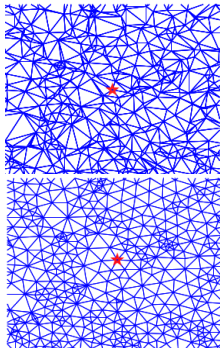
- ▶  $\xi$  distribué selon un PPP, un MCP ou un MHP dans  $\mathbb{R}^d$
- ▶  $(X_n^\xi)_{n \in \mathbb{N}}$  : marche aléatoire simple sur  $\text{DT}(\xi)$
- ▶  $P_x^\xi$  : loi de  $(X_n^\xi)_{n \in \mathbb{N}}$  partant de  $x \in \xi$

### Théorème

Pour presque tout  $\xi$ , pour tout  $x \in \xi$ , le processus mis à l'échelle  $(\varepsilon X_{\lfloor \varepsilon^{-2} t \rfloor}^\xi)_{t \geq 0}$  converge faiblement, sous  $P_x^\xi$ , vers un mouvement brownien non dégénéré.



## Éléments de la preuve :



**FIGURE :** Triangulation de Delaunay et sa déformation harmonique ;  
source : [Ferrari *et al.*, '13]

$$\blacktriangleright X_n^\xi = \underbrace{\varphi_\xi(X_n^\xi)}_{\text{martingale}} + \underbrace{\chi_\xi(X_n^\xi)}_{\text{correcteur}}$$

- ▶ TCL fonctionnel de Lindeberg-Feller pour les martingales
- ▶ Sous-linéarité du correcteur :

$$\lim_{n \rightarrow +\infty} \frac{1}{n} \max_{x \in \xi \cap [-n, n]^d} \|\chi_\xi(x)\| = 0 \text{ p.s.}$$

## Éléments de la preuve :

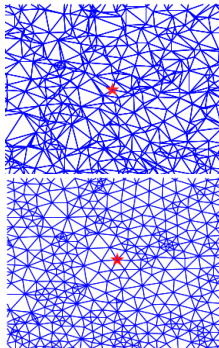


FIGURE : Triangulation de Delaunay et sa déformation harmonique ;  
source : [Ferrari *et al.*, '13]

$$\blacktriangleright X_n^\xi = \underbrace{\varphi_\xi(X_n^\xi)}_{\text{martingale}} + \underbrace{\chi_\xi(X_n^\xi)}_{\text{correcteur}}$$

- ▶ TCL fonctionnel de Lindeberg-Feller pour les martingales
- ▶ Sous-linéarité du correcteur :

$$\lim_{n \rightarrow +\infty} \frac{1}{n} \max_{x \in \xi \cap [-n, n]^d} \|\chi_\xi(x)\| = 0 \text{ p.s.}$$

↪ adapter la méthode de [Biskup et Prescott, '07]

- ▶ Il existe un sous-graphe  $\mathcal{G}_\infty(\xi)$  connexe et infini tel que les composantes connexes de  $\text{DT}(\xi) \setminus \mathcal{G}_\infty(\xi)$  sont finies

## Éléments de la preuve :

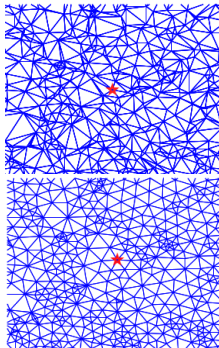


FIGURE : Triangulation de Delaunay et sa déformation harmonique ;  
source : [Ferrari et al., '13]

$$\mathbf{X}_n^\xi = \underbrace{\varphi_\xi(\mathbf{X}_n^\xi)}_{\text{martingale}} + \underbrace{\chi_\xi(\mathbf{X}_n^\xi)}_{\text{correcteur}}$$

- ▶ TCL fonctionnel de Lindeberg-Feller pour les martingales
- ▶ Sous-linéarité du correcteur :

$$\lim_{n \rightarrow +\infty} \frac{1}{n} \max_{x \in \mathcal{G}_\infty(\xi) \cap [-n, n]^d} \|\chi_\xi(x)\| = 0 \text{ p.s.}$$

↪ adapter la méthode de [Biskup et Prescott, '07]

- ▶ Il existe un sous-graphe  $\mathcal{G}_\infty(\xi)$  connexe et infini tel que  $\varphi_\xi$  est harmonique pour

$$(\mathcal{L}^\xi f)(x) = \sum_{y \in \mathcal{G}_\infty(\xi)} P^\xi[X_{T_1}^\xi = y] (f(y) - f(x))$$

- ▶  $(Y_t^\xi)_{t \geq 0}$  marche aléatoire de générateur  $\mathcal{L}^\xi$

## Éléments de la preuve :

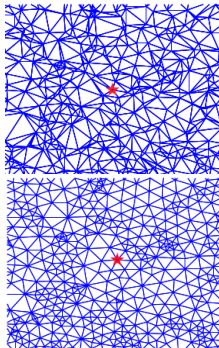


FIGURE : Triangulation de Delaunay et sa déformation harmonique ;  
source : [Ferrari *et al.*, '13]

$$\blacktriangleright X_n^\xi = \underbrace{\varphi_\xi(X_n^\xi)}_{\text{martingale}} + \underbrace{\chi_\xi(X_n^\xi)}_{\text{correcteur}}$$

- ▶ TCL fonctionnel de Lindeberg-Feller pour les martingales
- ▶ Sous-linéarité du correcteur :

$$\lim_{n \rightarrow +\infty} \frac{1}{n} \max_{x \in \mathcal{G}_\infty(\xi) \cap [-n, n]^d} \|\chi_\xi(x)\| = 0 \text{ p.s.}$$

↪ adapter la méthode de [Biskup et Prescott, '07]

- ▶ Sous-linéarité en moyenne

$$\forall \varepsilon > 0, \lim_{n \rightarrow +\infty} \frac{1}{n^d} \sum_{x \in \mathcal{G}_\infty(\xi) \cap [-n, n]^d} \mathbf{1}_{\|\chi_\xi(x)\| \geq \varepsilon n} = 0$$

## Éléments de la preuve :

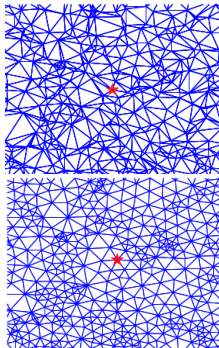


FIGURE : Triangulation de Delaunay et sa déformation harmonique ;  
source : [Ferrari *et al.*, '13]

$$\blacktriangleright X_n^\xi = \underbrace{\varphi_\xi(X_n^\xi)}_{\text{martingale}} + \underbrace{\chi_\xi(X_n^\xi)}_{\text{correcteur}}$$

- ▶ TCL fonctionnel de Lindeberg-Feller pour les martingales
- ▶ Sous-linéarité du correcteur :

$$\lim_{n \rightarrow +\infty} \frac{1}{n} \max_{x \in \mathcal{G}_\infty(\xi) \cap [-n, n]^d} \|\chi_\xi(x)\| = 0 \text{ p.s.}$$

↪ adapter la méthode de [Biskup et Prescott, '07]

- ▶ Croissance polynômiale

$$\exists \theta > 0, \lim_{n \rightarrow \infty} \max_{x \in \mathcal{G}_\infty(\xi) \cap [-n, n]^d} \frac{\|\chi_\xi(x)\|}{n^\theta} = 0$$

## Éléments de la preuve :

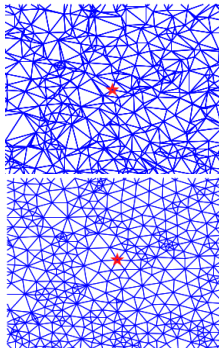


FIGURE : Triangulation de Delaunay et sa déformation harmonique ;  
source : [Ferrari et al., '13]

$$\blacktriangleright X_n^\xi = \underbrace{\varphi_\xi(X_n^\xi)}_{\text{martingale}} + \underbrace{\chi_\xi(X_n^\xi)}_{\text{correcteur}}$$

- ▶ TCL fonctionnel de Lindeberg-Feller pour les martingales
- ▶ Sous-linéarité du correcteur :

$$\lim_{n \rightarrow +\infty} \frac{1}{n} \max_{x \in \mathcal{G}_\infty(\xi) \cap [-n, n]^d} \|\chi_\xi(x)\| = 0 \text{ p.s.}$$

↪ adapter la méthode de [Biskup et Prescott, '07]

- ▶ Bornes diffusives

$$\sup_{n \geq 1} \max_{x \in \mathcal{G}_\infty(\xi) \cap [-n, n]^d} \sup_{t \geq n} t^{-\frac{1}{2}} E_x^\xi \left[ \|Y_t^\xi - x\| \right] < +\infty \text{ p.s.}$$

et

$$\sup_{n \geq 1} \max_{x \in \mathcal{G}_\infty(\xi) \cap [-n, n]^d} \sup_{t \geq n} t^{-\frac{d}{2}} P_x^\xi \left[ Y_t^\xi = x \right] < +\infty \text{ p.s.}$$

## Généralisations et perspectives



- ▶ D'autres graphes
  - ↪ *creek-crossing graphs*,...
- ▶ D'autres processus ponctuels
  - ↪ supprimer le rang de dépendance fini
- ▶ Des conductances plus générales
- ▶ Estimées précises de la résistance efficace en volume fini
  - ↪ nombre moyen de retours au point de départ avant la sortie d'une fenêtre
- ▶ Bornes précises sur le noyau de la chaleur
- ▶ Un troisième niveau d'aléa
  - ↪ Piéger les marches
  - ↪ Scènes aléatoires



# Merci pour votre attention !